

金沢大学工学部 正 喜内 敏
 学生 ○池田 紀彦
 松田 誠

1. まえがき

外的荷重をうける梁の一部の曲げモーメントが弾性限を越え、弾塑性領域を生じると、かゝる梁のモーメント M × 曲率 κ との関係は、弾性限を越えて、ひすみ硬化に入るとでは2次式で表わされ、ひすみ硬化に入ると3次式で表わされる。静定構造あるいは、次数の低い不静定構造においては、ひすみ硬化の影響はさほど大きくなりが、次数の高い不静定構造になると、ひすみ硬化を考慮した場合の方が一般の单纯塑性理論から求めた崩壊荷重よりかなり大きくなり、したがって、ひすみ硬化を考慮する必要が生じてくる。本研究は、その第1段階として、矩形断面をもつた簡単な構造について、ひすみ硬化を考慮した場合の梁の荷重とたわみの関係を求め、実験結果および单纯塑性理論と比較し検討を行つた。

2. 計算方法

図-1に示す軟鋼のストレス-ストレイン曲線を、図-2に示すように直線で置きかえて簡略化した。矩形断面が曲げモーメントをうけて、弾性から弾塑性領域へと降伏していくとき、モーメント M × 曲率 κ との関係は、図-2より次の3段階にある。

i) $0 \leq \epsilon \leq \epsilon_y$ のとき

$$\phi = M / EI$$

ここで E はヤング係数、 I は断面2

次モーメント、 ϕ は降伏ひすみである。

ii) $\epsilon_y < \epsilon \leq \epsilon_s$ のとき

$$\phi = \phi_y / (3 - 2M/M_y)^{1/2}$$

ここで M_y は降伏モーメント、 ϕ_y は降伏ひすみ率、 ϵ_y はひすみ硬化に入るときのひすみである。

iii) $\epsilon_s < \epsilon \leq \epsilon_f$ のとき

$$2\phi^3 + (3K\phi_y - 2K\phi_y M/M_y) \phi - 3\phi_y^2 + \phi_y^3 - K\phi_y^3 = 0 \quad \text{の根}$$

ここで ϕ_y はひすみ硬化に入るときの

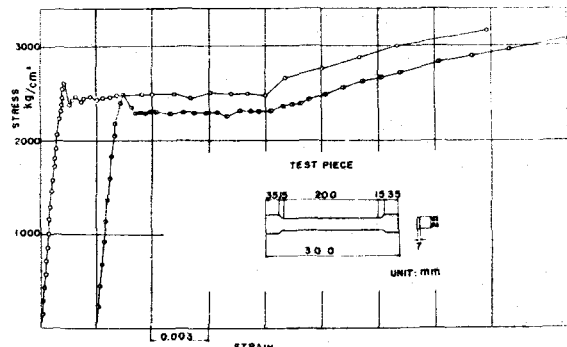


図-1

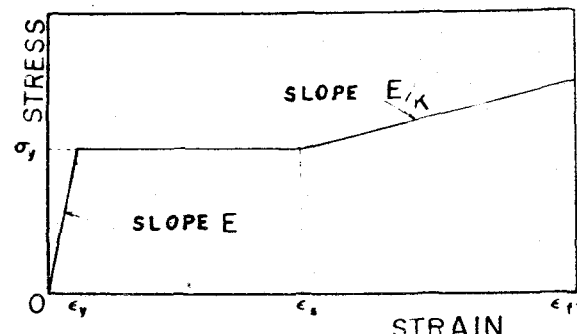


図-2

曲率 K は勾配を決定する変数、 ϵ_0 は崩壊と見なされたときのひずみである。

以上より、荷重および荷重に対するたわみを求めることができる。

3 片持梁

図-3のような片持梁の自由端Aでのたわみを求める。

i) $0 \leq \epsilon \leq \epsilon_y$ のとき

$$P = b h^2 G / 6L, \quad \delta_A = P L^3 / 3EI$$

$= K$ 、 b は梁の断面幅、 h はその高さである。

ii) $\epsilon_y < \epsilon \leq \epsilon_s$ のとき

$$P = b h^2 G [1 - (\phi_y / \phi)^2 / 3] / 4L$$

$$\delta_A = P_y L^3 [5 - (3 + P_y) \times (3 - 2\phi_y^2)^{1/2}] / 3EI P_y^2$$

$= K$ 、 ϕ_y は降伏応力、 P_y は降伏荷重、 $P_y = P / P$

である。

iii) $\epsilon_s < \epsilon \leq \epsilon_f$ のとき

$$P = b h^2 G [2\phi_y^3 + (3K\phi_y - 3\phi_s)\phi^2 + \phi_s^3 - K\phi_y^3] / 12K\phi_y\phi^2 L$$

$$\delta_A = 5P_y^2\phi_y / 3 + \int_{x_1}^L \phi x dx$$

$= K$ 、 $R = P_y L / P$

$\lambda = P_s L / P$ 、 P_s はひずみ硬化による荷重、又は自由端より

の距離で、 $\lambda < x \leq L$ である。

図-1 に示すストレス-ストレイン曲線の結果から、 $E = 2.0 \times 10^6 \text{ kg/cm}^2$

$$G = 2400 \text{ kg/cm}^2, \quad \epsilon_y = 1.2 \times 10^{-3}$$

$$\epsilon_s = 10^2, \quad \epsilon_f = 3 \times 10^2, \quad K = 40 \text{ とし}$$

$$L = 20.0 \text{ cm}, \quad b = 1.5 \text{ cm}$$

$h = 2.0 \text{ cm}$ とすると、荷重-たわみ

曲線は、図-4の実線となる。

4. 単純梁

3. 片持梁と同じ方法によって荷重-たわみ曲線を求めると、図-5の実線となる。

5. 実験結果

実験結果より各深における荷重-たわみの関係を示すと、図-4、図-5の○印 (NO.1)、●印 (NO.2) となる。これより、実験結果とひずみ硬化を考慮した場合の計算値とは、比較

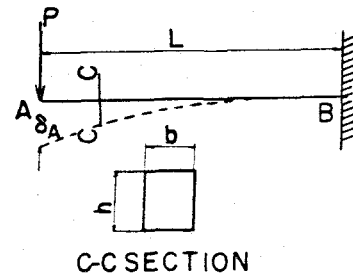


図-3

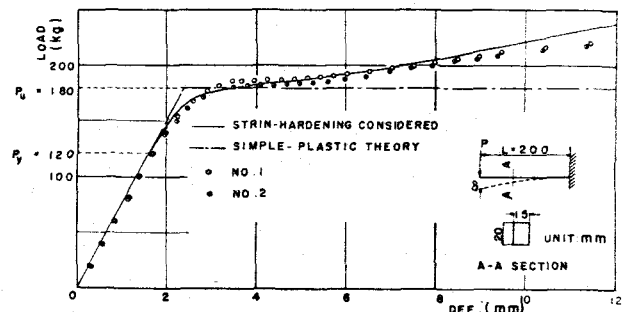


図-4

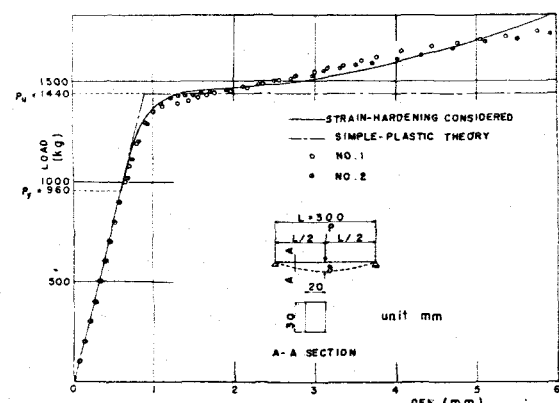


図-5

的よく一致していることがわかる。いま、ひずみ硬化を考慮した場合の荷重 P_h と、单纯塑性理論から求めた荷重 P_u とを比較してみると、図-4における片持梁の場合では、たわみが弹性たわみの約5倍のときに、 P_h/P_u は約70%になつておき、図-5における单纯梁の場合では、たわみが弹性たわみの約10倍のときに、 P_h/P_u は約75%となつておき。また、たわみが大きくなると、図-4、図-5共に理論値の方が実験値よりも同じ荷重に対してたわみが小さくなる傾向が見られたか、これは、ストレス-ストレイン曲線を図-2のように仮定して置きかえたことによるものである。

6. 結語

以上、簡単な梁構造について、ひずみ硬化を考慮して荷重-たわみ曲線を求め、单纯塑性理論から求めた曲線、および実験結果から得られた曲線とを比較したが、ひずみ硬化を考慮した場合の荷重-たわみ曲線は、実験値とはかなり一致をみたものに対して、单纯塑性理論値とはかなりの差があつれ、ひずみ硬化の影響が大きいことを示している。静定構造あるいは次数の低い不静定構造においてはさほどでもないとしても、次数の高い不静定構造においては、N個目の塑性関節が形成されるとまには、一般的の单纯塑性理論から得る値よりも、はるかに大きな荷重を必要とする。

したがって、次数の高い不静定構造に対しては、ひずみ硬化を考慮することが必要となるわけで、そのためには計算が簡単かつ、精度の高いことが要求されるわけで、目下研究中である。

参考文献

- 1) 木原博：“塑性設計法”
- 2) J.F. BAKER：“THE STEEL SKELETON”
- 3) MICHAEL REX HORNE, M.A., SC.D., M.I.C.E., A.M.I.STRUCT.E.
“COLLAPSE LOADS OF STEEL FRAMEWORKS
ALLOWING FOR THE EFFECT OF STRAIN-
HARDENING”
- 4) FELICJAN SAWKO, M.SC.
“EFFECT OF STRAIN HARDENING ON THE
ELASTO-PLASTIC BEHAVIOUR OF BEAMS
AND GRILLAGES”